

PATENT ABSTRACTS OF JAPAN

(11)Publication number : 62-280729

(43)Date of publication of application : 05.12.1987

(51)Int.Cl.

603B 21/62

(21)Application number : 61-123345

(71)Applicant : HITACHI LTD

(22)Date of filing : 30.05.1986

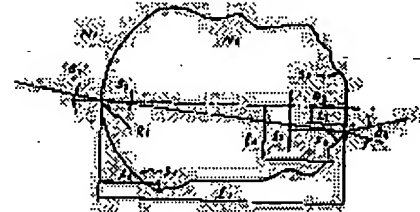
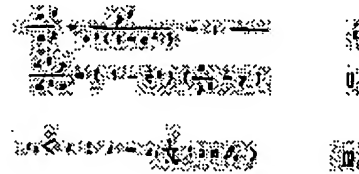
(72)Inventor : HIRATA KOJI
FUKUDA KYOHEI

(54) LENTICULAR SHEET

(57)Abstract

PURPOSE: To converge green video light which is incident in parallel on the optical axes of respective convex cylindrical lenses on a video light incidence surface while nearly eliminating its spherical aberration by optimizing the shape of the convex cylindrical lenses on the incidence surface and the gap to a projection surface.

CONSTITUTION: A video light incidence flank is in a convex cylindrical lens shape as shown by S1, and a convex cylindrical lens S2 corresponding to it is formed on the other surface. Then the shape of the incidence surface convex cylindrical lens is elliptic as shown by equation I and the corresponding convex cylindrical lens S2 is so shaped that the value of secondary differentiation in the equation indicating the shape of the lens S2 is smaller than the value in inequation II which is the secondary differentiation of equation I at the periphery of the center axis, the distance l3 from the center part is made large at the point of inequality III, and the radius R3 of curvature almost when l3>l decreases as l3 increases. In the equations, $e=1/N2$, and N2 is the refractive index of the sheet raw material, (y) is the short axis, and (x) is the long axis (coincident with the lens center axis).



LEGAL STATUS

[Date of request for examination]

[Date of sending the examiner's decision of rejection]

[Kind of final disposal of application other than the examiner's decision of rejection or application converted registration]

[Date of final disposal for application]

[Patent number]

[Date of registration]

[Number of appeal against examiner's decision of rejection]

[Date of requesting appeal against examiner's decision of rejection]

[Date of extinction of right]

⑩ 日本国特許庁(JP)

⑪ 特許出願公開

⑫ 公開特許公報(A)

昭62-280729

⑬ Int. Cl.⁴

識別記号

庁内整理番号

⑭ 公開 昭和62年(1987)12月5日

G 03 B 21/62

8308-2H

審査請求 未請求 発明の数 1 (全5頁)

⑮ 発明の名称 レンチキュラーシート

⑯ 特 願 昭61-123345

⑰ 出 願 昭61(1986)5月30日

⑱ 発 明 者 平 田 浩 二 横浜市戸塚区吉田町292番地 株式会社日立製作所家電研究所内

⑲ 発 明 者 福 田 京 平 横浜市戸塚区吉田町292番地 株式会社日立製作所家電研究所内

⑳ 出 願 人 株式会社日立製作所 東京都千代田区神田駿河台4丁目6番地

㉑ 代 理 人 弁理士 小川 勝男 外1名

明 細 書

1 発明の名称

レンチキュラーシート

2 特許請求の範囲

1 投写形テレビに使用する投写用スクリーンを形成するレンチキュラーシートにおいて、映写光入射側面は、第1図の S_1 のように凸シリンジカルレンズ形状を成しており、他の一面にもこれに対応する凸シリンジカルレンズ S_2 が形成され、前記入射面凸シリンジカルレンズの形状は、下記①式で示される楕円形状で、かつ対応する凸シリンジカルレンズ S_2 の形状を示す式の2次微分の値が、①式の2次微分である②式の値よりも、中心部付近は小さく、中心部からの距離 r_1 が、

$$r_1 < r_1' \quad (r_1 = r_1' \pm \Delta r_1)$$

の点では、大きくし $r_1 > r_1'$ 付近の曲率半径 R_0 は、 r_1 が大きくなる時、しだいに小さくなる形状としたことを特徴とするレンチキュラーシート。

$$\frac{r_1^2}{a^2} + \frac{r_1'^2}{a^2(1-e^2)} = 1$$

ここで $a^2(1-e^2) = b^2$ とする。

ただし、 $e = 1/N_0$ N_0 :シート素材の屈折率

r :短軸

r' :長軸(レンズ中心と一致)

$$\frac{r_1^2}{a^2} + \frac{r_1'^2}{a^2(1-e^2)} = 1 \quad \text{--- ①}$$

$$\frac{d^2 r_1}{d r_1'^2} = (1-e^2) \left(\frac{r_1}{r_1'^2} - r_1 \right) \quad \text{--- ②}$$

2 特許請求の範囲第一項記載のレンチキュラーシートにおいて、映写光入射面 S_1 と出射面 S_2 の間隔 t_1 が下記③式を満足することを特徴とするレンチキュラーシート

$$0.71 < t_1 < 1.01 \quad \text{--- ③}$$

ただし、

入射面形状 S_1 は④式に示される楕円形状とし

$$\frac{r_1^2}{a^2} + \frac{r_1'^2}{a^2(1-e^2)} = 1 \quad \text{--- ④}$$

さらに $1 = a + ae$ で求められるものとする。ここで $e = 1/N_0$ N_0 :シート素材の屈折率

3 発明の詳細な説明

〔産業上の利用分野〕

本発明は、透過型スクリーンに使用するレンチキュラーシートに關り、特にプロジェクションテレビの投影用に適したカラーシフトの少ない透過型スクリーンに關する。

〔従来の技術〕

透過型スクリーンからの出射光の水平及び垂直の指向特性を規定する方法として、次の2つが知られている。①レンチキュラーシートに形成した凸シリンジカルレンズの形状設計

②レンチキュラーシートに混入する拡散剤の粒径及び混入比率の最適化。

しかしながら従来②の方法である拡散剤の混入比率を大きくすると次の問題が生じる。すなわち、

①拡散剤により光の反射が増加し、出射面からの出射光量が減少する。

②水平及び垂直方向個々の指向特性を制御できない。この為、指向特性の制御は、前記①の方法である凸シリンジカルレンズの形状設計を主体と

シリンジカルレンズに対して斜めより入射する光線については、配向されていなかった。

〔発明が解決しようとする問題点〕

上記した従来技術によるレンチキュラーシートをプロジェクションテレビに使用した場合の問題点を図により説明する。図3図は、プロジェクションテレビの光学系を示す横断面図である。陰極線管及び投影レンズ34の配位は、緑色陰極線管32を中心に、左右に青色陰極線管31、赤色陰極線管33が斜方向にインライン配位されている。このため、スクリーン上で正規の映像を得ようとする必要とされる。すなわち、青色陰極線管31と投影レンズ34及び赤色陰極線管33と投影レンズ34がフレネル(レンズ)シート35に正対せず、角度 β_1 (以下斜中角と記述)だけ斜め入射となる。さらに、フレネルシート35から出射してレンチキュラーシート36の入射面に入射する光も図5図に示すように斜中角 β_2 だけ、緑色投影光に対して傾きを持つこととなる。ところが、従来技術によるレンチキュラーシートに形成された凸

し②の方法である拡散剤の混入比率の最適化を併用して行なわれている。

以上述べた従来の指向特性の制御方法を取っているレンチキュラーシートの例としては、特開昭58-221833号記載のように、レンチキュラーシート基材である合成樹脂100g中に部に対して混入する光散乱物質の比率及び、粒径を規定している。さらに、この形状は、第4図に示すように入射面の凸シリンジカルレンズの球面収差を無くし、かつ前記凸シリンジカルレンズの焦点位置と等しい位置に出射面を配置している。又、特開昭58-205140号記載のように、前記凸シリンジカルレンズの中心を配置している。この為、入射面の光軸に対して平行な入射光 a, b, c, d, e, f は出射面ではば一点に収束する。以上述べた理由により、出射面の非収光部の面積が大きく取れ、非収光部に光吸収体の塗布を益することにより、外光に対してコントラスト劣化の少ない画像が得られるという効果がある。しかしながら、前記従来技術においては、入射面の凸シリンジカルレ

シリンジカルレンズは、斜め方向から入射する光に対しては配向されていなかった。次に、従来技術の一実施例のメカニズムについて説明する。一般に、レンズを形成する物質の屈折率の逆数を屈折率とした場合の楕円形状でレンズ面を形成すると、光軸に平行な光線は、無収差でその焦点位置に収束する。この性質を利用して、レンチキュラーシートの入射面である凸シリンジカルレンズの形状を楕円形状とする。この時、図7図に示すように光軸から入射光線までの高さを h とした時、スクリーンの厚さ t と出射角 θ_2 は、次の式で求められる。

$$\frac{n^2}{1} + \frac{y^2}{1-n^2} = a^2 \quad (1)$$

楕円の一般式

$$1 = a^2 + b^2 \quad (2)$$

今、屈折率 $n = 1/n_1$ とおけば

$$1 = a^2 - (a^2 - y^2 / (1 - n^2))^{1/2} \quad (3)$$

$$\theta_2 = \tan^{-1} (h / (a^2 + (a^2 - \frac{y^2}{(1-n^2)})^{1/2})) \quad (4)$$

$$n_1 \sin \theta_1 = n_2 \sin \theta_2$$

$$\theta_0 = \sin^{-1} \left(\frac{n_1 \sin \theta_1}{n_0} \right) \quad (5)$$

(4)式を(5)式に代入する令 $y = h$ であるため、

$$\theta_0 = \sin^{-1} \left(\frac{n_1}{n_0} \cdot \sin \left(\tan^{-1} \left(\frac{h}{(ae + (a^2 + \frac{h^2}{1-a^2})^{1/2})} \right) \right) \right) \quad (6)$$

ただし、 n_1 : スクリーン基材の屈折率

n_0 : 空気の屈折率

h : 入射光線高

a : 偏心率

$e = 1/(1+a)$

(6)式を変形することにより任意のスクリーン基材で、凸シリンダリカルレンズのピッチと、外部を回る光線の出射角 θ_0 が決まれば、厚さ t を求めることができる。第5図は、従来技術の一例として入射面と出射面の形状を示す縦方向断面図である。楕円形状の凸シリンダリカルレンズの光軸に平行な光は矢線で示すように出射面で一点に収束し各光線の出射角の制御も可能であるが、集中角 θ_1 だけ斜めから入射した光は、一点で収束せず出射光の出射角も制御できない。第6図は、第5図と同

の点では、大きくし $t_0 > t$ 付近の曲率半径 R_0 は、 t_0 が大きくなると、しだいに小さくなる形状とすることにより達成される。

$$\frac{a^2}{b^2} + \frac{y^2}{a^2(1-e^2)} = 1 \quad (7)$$

ここで $a^2(1-e^2) = b^2$ とおく

ただし $e = 1/N_0$

N_0 : シート基材の屈折率

y : 短軸

a : 長軸でレンズ中心軸と一致

〔作用〕

本発明によるレンチキュラーシートによれば、映像光入射面の各凸シリンダリカルレンズの光軸に平行に入射する白色映像光に対しては、入射面の凸シリンダリカルレンズの形状及び出射面との間隔の最適化により、ほぼ収束面収差をなくして対応する凸シリンダリカルレンズの出射面に収束させる。又、入射面の各シリンダリカルレンズに斜めから入射する白色及び彩色映像光のレンズ面からの出射光分布は、出射面の形状を最適化することにより改善する。

即ち、入射面を楕円形状とし、集中角 θ_1 を 8.9° 度、入射レンズの有効径を $1.2(\text{mm})$ 、出射レンズの有効径を $0.6(\text{mm})$ とし、さらにレンズ面間隔を $1.5(\text{mm})$ とした場合の指向特性を光学計算により求めたものである。たとえば、第3図で示すようにスクリーンを、向って斜め左方向から見た場合には、白色映像光が強調され、所謂カラーシフトが発生する。本発明の目的は、透過型スクリーンをプロジェクションテレビに使用した場合に生じるカラーシフトの軽減にある。

〔問題点を解決するための手段〕

上記目的は、第1図で示すように映像光入射面 S_1 のレンズ形状を下記(7)式で示される楕円形状とし映像光入射面 S_1 と出射面 S_2 の間隔 t_0 が(1)~(6)式により決まる厚さ t と比較して $0.9 < t_0 < 1.0$ の範囲とする。さらに、入射面凸シリンダリカルレンズに対応する映像光出射面 S_2 の形状を示す式の2次成分の絶対値が(7)式の2次成分の絶対値よりも中心付近は小さく、中心からの距離 t_0 が

$$t_0 < t \left(t = \frac{1}{N_0} \tan \theta_1 \right)$$

〔実施例〕

以下、本発明の一実施例を図を用いて詳細に説明する。第2図は、本発明の一実施例であるレンチキュラーレンズの形状を示すものである。レンチキュラー P_0 は、従来のレンチキュラーレンズと同じ $1.2(\text{mm})$ とし、スクリーン基材の屈折率を 1.56 とした場合の設計値を示す。一般にレンズ面は、そのレンズの光軸を X 軸とし、これに直交する軸を Y 軸とすれば(8)式で示される。

$$X = \frac{Y^2/R_0^2}{1 + \sqrt{1 - (1 + CC)Y^2/R_0^2}} + ADY^4 + AXY^6 + AFY^8 + AGY^{10} \quad (8)$$

ここで本発明のシリンダリカルレンズは次の通りである。

入 射 面	出 射 面
$\frac{a^2}{(1.07)^2} + \frac{y^2}{\frac{1-(1/1.56)^2}{(1.07)^2}} = 1$ 楕円形状	RD -12689109
	CC 5.5731523
	AD 2.468433×10 ⁶
	AE -22234897×10 ⁸
	AF -56248112×10 ⁸
	AG 8.0688563×10 ⁸

$l_1 = 1.47(\text{mm})$ $L_1 = 0.86(\text{mm})$ $L_2 = 0.7(\text{mm})$ $P_0 = 12(\text{mm})$
 入射面は、楕円形状でありレンズ間隔(11)~(17)式により最適設計している。この為、レンズの光軸に平行に入射した映像光は、球面収差の影響をほとんど受けることなく出射面の光軸上の点付近に収束する。一方、入射面に傾中角 β_1 だけ斜めに入射する映像光は、入射面で屈折後、出射面において光軸より $l_1 \cdot \frac{1}{N_1} \tan \beta_1$ だけ離れた位置に収束する。この為、凸シリンドリカルレンズの非球面度を大きくして、前述の $l_1 \cdot \frac{1}{N_1} \tan \beta_1$ 付近の形状を大きく変位させ出射光の光分布を最適化しており良好な指向特性が得られている。

又、第2図に示すように本発明例のレンチキュラーシートは、以下示す理由により成形性においても従来技術によるスクリーンより優れている。

- ① 出射面の突起25からレンズ面下地までの落ち込み l_2 が小さい。
- ② 出射面の凸シリンドリカルレンズの平均曲率が大きく落ち込み l_2 が小さい。
- ③ 出射面に形成された突起25と出射面の凸シリンドリカルレンズの形状により大幅に低減できる。

ほぼ無収差で出射面に光が収束するため出射面の非点光部の面積が大きくなり、この部分に光吸収体により設けた遮光孔を形成することにより外光に対するコントラスト劣化が大幅に低減できる。

4. 図面の簡単な説明

第1図は、本発明のレンチキュラーシートの要部の横断面図、第2図は、本発明のレンチキュラーシートの一実施例の断面図、第3図はプロジェクションテレビの光学系を示す横断面図、第4図、第5図は従来のレンチキュラーシートの横断面図、第6図は、従来のレンチキュラーシートをフレネルレンズシートと組み合わせた場合の指向特性を示す特性図、第7図はシリンドリカルレンズの断面図、第8図はレンズ形状の2次微分の値を比較した図である。

21、54、51、61-レンチキュラーレンズ、22-出射面、23-入射面、24、42-光吸収体、25-突起、31-青色陰極管、32-緑色陰極管、33-赤色陰極管、34-投影レンズ、35-フレネルレンズ、42-光吸収体、38-稜鏡、 N_1 、 n_2 -空気の屈折率、

シリンドリカルレンズの有効部 L_1 との間に平坦部 $(L_1 - L_2)/2$ が存在する為レンズ面の凹凸性が向上する。

さらには、突起部25の平坦部に光吸収体14による遮光孔を設けることにより、外光に対してコントラスト劣化の少ないスクリーンを得ることができる。8式に示す形状の2次微分の値を、従来技術である中心窓がレンチキュラーシートの材の屈折率の逆数で示される楕円形状を有するレンチキュラーレンズ面の2次微分の値と比較して図8に示す。従来技術のレンズ面の2次微分の絶対値は本発明の形状の2次微分の絶対値に比べ中心付近で大きく、第1図に示す $l_1 \cdot \frac{1}{N_1} \tan \beta_1$ 付近で大きくなっている。

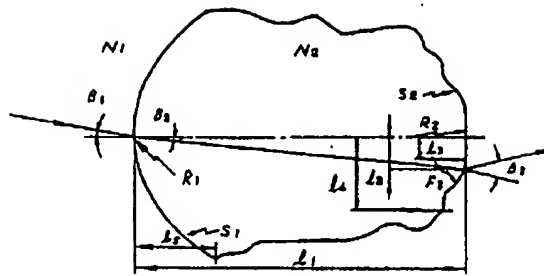
〔発明の効果〕

本発明によれば以下に示す効果が期待できる。

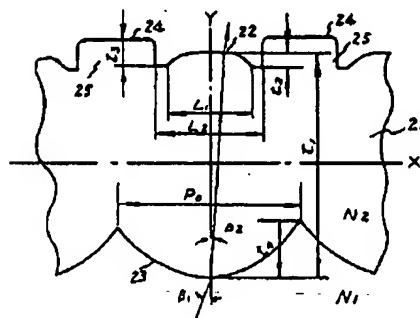
- ① 彩色映像光と白色映像光の差によって規定するカラーシフトについては、出射面の凸シリンドリカルレンズの形状により大幅に低減できる。
- ② 又、入射面の凸シリンドリカルレンズにより

N_1 、 n_2 -レンチキュラーシート材の屈折率、 β_1 -入射角、 β_2 -屈折角、 β_3 -出射角、 R_1 -中心部曲率半径、 R_2 -周辺部曲率半径。

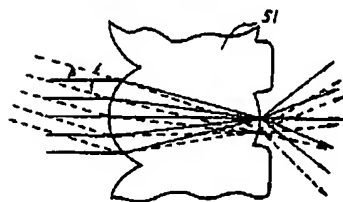
第 1 図



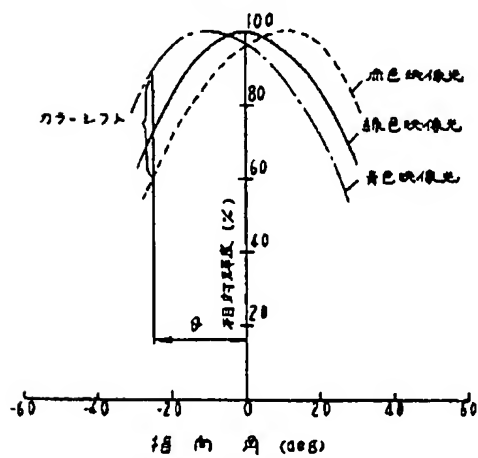
第 2 図



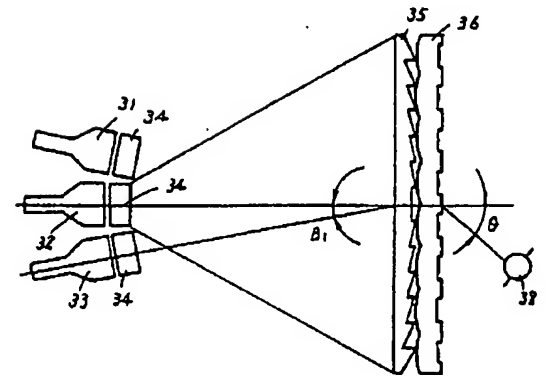
第 5 図



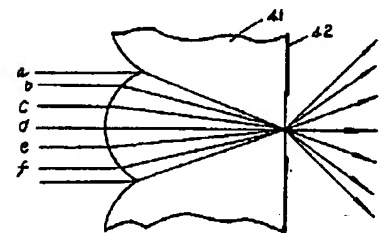
第 6 図



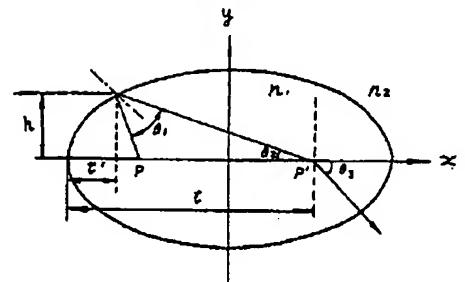
第 3 図



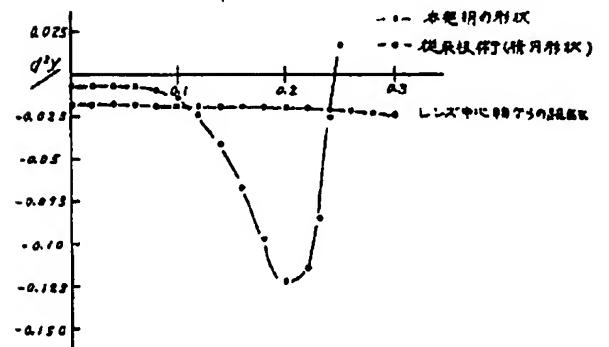
第 4 図



第 7 図



第 8 図



【公報種別】特許法第17条の2の規定による補正の掲載
 【部門区分】第6部門第2区分
 【発行日】平成5年(1993)11月12日

【公開番号】特開昭62-280729
 【公開日】昭和62年(1987)12月5日
 【年通号数】公開特許公報62-2808
 【出願番号】特願昭61-123345
 【国際特許分類第5版】
 G03B 21/62 7316-2K

手続補正書

平成 5 年 1 月 22 日

特許庁長官殿
 事件の表示

昭和 61 年 特許願 第 123345 号

発明の名称 レンチキュラーシート

補正をする者

特許出願人

名 称 (510)株式会社 日立製作所

代理人

〒100 東京都千代田区丸の内一丁目5番1号
 株式会社日立製作所内 電話 東京区111-1111 (大代表)
 氏 名 (6850) 小川 勝 男

補正により増加する発明の数 3

補正の対象 明細書の特許請求の範囲の図及び発明の詳細な説明の図及び図面の第2図。

補正の内容

別紙の通り。

1. 明細書の特許請求の範囲を別紙の通り補正する。

2. 明細書の第8頁の第6行の「スクリーンを」を「スクリーンに」に訂正する。

3. 同書同頁の第8行の「発生する。」と「本発明の目的は」の間に、次の文章を挿入する。

「又、従来、外光に対するコントラスト低下を防ぐ技術的手段として第5図に示すように出射面の非焦点部に凸状突起を設け、この突起の表面に光吸収体を塗布したいわゆる“ブラックストライプ”を設けている。

このとき、従来技術では、出射面の凸シリンドリカルレンズと、前述の突起では、形状が大きく変化する。この為、レンチキュラーシートの製造時に凸シリンドリカルレンズの形状を十分な精度で成型することが困難となる。」

4. 同書同頁の第8行の「本発明の目的は、」を「本発明の目的は上述したレンチキュラーレンズの形状精度向上と、」に訂正する。

5. 同書第9頁第11行の「レンチキュラーシ

ト」を「レンチキュラーシートを用いた透過型スクリーン」に訂正する。

6. 同図第10頁第7行の「1.56」と「とした場合」の間に「出射面の有効径 L_1 を0.5600、レンズ径 L_2 を0.700」を挿入する。

7. 同図第10頁第7行の「一般にレンズ」から第14行の「である。」までを削除し、次の文章を挿入する。

「まず、データの読み方について説明する。
曲率半径 R_0 の符号が正のものは、そのレンズ面の曲率中心が光軸上において入射面23から出射面22に向かう方向に位置することを示す。
ここで非球面係数とは、面形状を次式で表現した時の係数である。

$$X = \frac{Y^2/R_0^2}{1 + \sqrt{1 - (1 + CC)Y^2/R_0^2}} + AD \cdot Y^4 + AEY^6 + AF \cdot Y^8 + AG \cdot Y^{10} + \dots + A_n Y^{2n} \quad \dots\dots\dots(8)$$

但し、光軸方向を X に、レンズの半径方向を Y 軸にとった時のレンズ面の高さ（ Y の関数）を表し、 R_0 は曲率半径を表し、 n は任意の自然数

を表している。従って、 CC 、 AD 、 AE 、 AF 、 AG 、 \dots 、 A_n の各係数が与えられれば上記（8）式に従って、レンズ面の高さ、つまり形状が定まるわけである。

下記の表においては、係数として、 CC 、 AE 、 AF 、 AG 、 AH まで、すなわち、10次の係数までしか示していないが、これに限定されるわけではなく、12次以上の係数次の係数についても同様に設定しても良い。そのような場合にも、光軸に対して対称なレンズ面が得られるからである。」

8. 同図12頁第18行と第20行の間に次の文章を挿入する。

「出射面に形成した突起25と出射面の凸シリンドリカルレンズの有効径 L_1 との間に隙き部分が存在する。このためにこの部分で形状誤差を緩和することが可能となり、レンチキュラーシートの成形性が向上する。」

9. 同図13頁第1行の「収束」を「収束」に訂正する。

10. 図面の第2図を別紙の通り補正する。

特許請求の範囲

1. 投写形テレビに使用する投写用スクリーンを構成するレンチキュラーシートにおいて、映写光入射側面は、第1図の S_1 のように凸シリンドリカルレンズ形状を成しており、他の一面にもこれに対応する凸シリンドリカルレンズ S_2 が形成され、前記入射面凸シリンドリカルレンズの形状は、下記①式で示される楕円形状で、かつ対応する凸シリンドリカルレンズ S_2 の形状を示す式の2次微分の値が、①式の2次微分である②式の値よりも、中心部付近は小さく、中心部からの距離 l_1 が、

$$l_1 < l \quad (l = R_1 \cdot \frac{1}{N_1} \tan \beta_1)$$

の点では、大きくし $l_1 > l$ 付近の曲率半径 R_1 は、 l_1 が大きくなる時、しだいに小さくなる形状としたことを特徴とするレンチキュラーシート。

$$\frac{z^2}{a^2} + \frac{y^2}{a^2(1-e^2)} = 1$$

ここで $a^2(1-e^2) = b^2$ とする。

ただし、 $e = 1/N$ 、 N ：シート素材の屈折率

y ：短軸

x ：長軸（レンズ中心軸と一致）

$$\frac{x^2}{a^2} + \frac{y^2}{a^2(1-e^2)} = 1 \quad \text{-----①}$$

$$\frac{d^2 y}{d^2 x} = (1-e^2) \left(\frac{x}{y} - \gamma \right) \quad \text{-----②}$$

2. 特許請求の範囲第1項記載のレンチキュラーシートにおいて、映像光入射面 S_1 と出射面 S_2 の間隔 A が下記④式を満足することを特徴とするレンチキュラーシート

$$0.9t < A < 1.0t \quad \text{-----③}$$

ただし、

入射面形状 S_1 は④式に示される楕円形状とし

$$\frac{x^2}{a^2} + \frac{y^2}{a^2(1-e^2)} = 1 \quad \text{-----④}$$

さらに $t = a + a \cdot e$ で求められるものとする。

ここで $e = 1/N$ 、 N ：シート素材の屈折率

$$Y = \frac{Y^2/R_0^2}{1 + \sqrt{1 - (1 + CC)Y^2/R_0^2}} + AD \cdot Y^4 + AE \cdot Y^6 + AF \cdot Y^8 + AG \cdot Y^{10} + \dots + A \cdot Y^n \quad \text{-----⑤}$$

なる式で与えられる非球面形状を成すことを特徴とするレンチキュラーシート。

4. 特許請求の範囲第3項に記述のレンチキュラーシートであって、前記第2のレンチキュラーレンズ S_2 のスクリーン面水平方向の断面形状を表す⑥式において、4次以上の高次の係数の符号のうち少なくとも1つ以上の符号が、曲率半径の符号と異なることを特徴とするレンチキュラーシート。

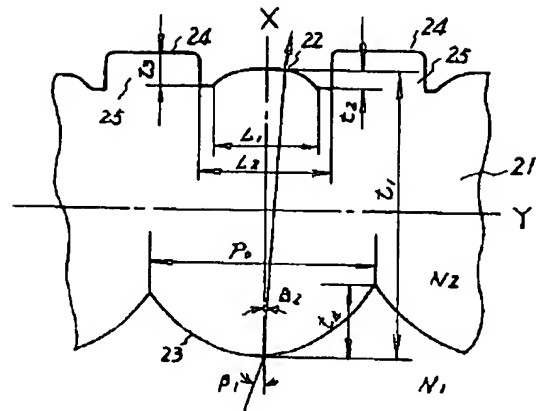
6. 特許請求の範囲第3項、または第4項に記述のレンチキュラーシートにおいて、前記第2のレンチキュラーレンズ S_2 の相互の間の境界部分に、それぞれ有角部の光取出部を設けたことを特徴とするレンチキュラーシート。

8. 映像発生面より入射する映像光を透過して、映像撮像側に出射する透過型スクリーンを構成するレンチキュラーシートで、その映像光

8. 映像発生面より入射する映像光を透過して、映像撮像側に出射する透過型スクリーンを構成するレンチキュラーシートで、その映像光発生面側のスクリーン形状が、スクリーン面垂直方向を長手方向とする第1のレンチキュラーレンズ S_1 を複数個、スクリーン面水平方向に連続的に配置した形状を成し、その映像撮像側のスクリーン面の形状が、スクリーン面垂直方向を長手方向とする第2のレンチキュラーレンズ S_2 を複数個、前記第1のレンチキュラーレンズ S_1 にほぼ対向して、スクリーン面水平方向に連続的に配置した形状を成すと共に、少なくとも前記第2のレンチキュラーレンズ S_2 のスクリーン面水平方向の断面形状が、映像撮像側に凸である形状をなし、かつ、その凸である形状の先端からの、前記第1のレンチキュラーレンズ S_1 の光軸の方向に沿った距点を X とし、該先端からのレンズ半径方向の距点の距点を Y とした時、

発生面側のスクリーン形状が、スクリーン面垂直方向を長手方向とする第1のレンチキュラーレンズ S_1 を複数個、スクリーン面水平方向に連続的に配置した形状を成し、その映像撮像側スクリーン面の形状が、スクリーン面垂直方向を長手方向とする第2のレンチキュラーレンズ S_2 を複数個、前記第1のレンチキュラーレンズ S_1 にほぼ対向して、スクリーン面水平方向に連続的に配置した形状を成すと共に、少なくとも前記第1のレンチキュラーレンズ S_1 のスクリーン面水平方向の断面形状もしくは、第2のレンチキュラーレンズ S_2 のスクリーン面水平方向の断面形状のいずれか一方は、レンチキュラーレンズの先端からの距点の関数で与えられる形状であり前記先端に対して対称である形状をなし、前記関数を2次微分して得られる関数に、前記先端からの距点を、前記先端の近傍と周辺部について代入したとき、それによって得られる値が相互に異なることを特徴とするレンチキュラーレンズ。

第 2 図



7. 映像発生領域より入射する映像光を透過して、映像領域側に出射する透過型スクリーンを構成するレンチキュラスクリーンで、その映像光発生領域のスクリーン形状が、スクリーン両面垂直方向を長手方向とする第1のレンチキュラーレンズ8₁を複数個、スクリーン両面水平に連続的に配置した形状を成し、その映像領域側スクリーン面の形状が、スクリーン両面垂直方向を長手方向とする第2のレンチキュラーレンズ8₂を複数個、前記第1のレンチキュラーレンズ8₁にほぼ対向して、スクリーン両面水平方向に連続的に配置した形状を成すと共に、前記第2のレンチキュラーレンズ8₂の相互の間の境界部分に突起を設け、前記突起の両面部分に、それぞれ有領域の光吸収層を設け、かつ、前記突起部と、前記第2のレンチキュラーレンズ8₂との間に隙部分設けたことを特徴とするレンチキュラーシート。

以上